

論 文

光相關器를 利用한 컴퓨터用 光文字認識에 관한 研究

準會員 朴 賢 漱* 正會員 宋 宇 永** 正會員 朴 漢 奎***

A Study on the Optical Character Recognition using Optical Correlators Computer

Hyun Cheol PARK, Associate Member and Woo Young SONG,

Han Kyu PARK, Regular Members

要 約 N 개의 문자를 인식하기 위해 $\log N$ 번의 이진측정만을 요구하는 주요문자형태(principal components)를 컴퓨터에 의해 계산, 제작하였고 비간섭성 광상관기(incoherent optical correlator)를 구성하여 상관계수를 측정하였다. 종래의 최적 필터를 사용한 애널로그 상관계수 측정법보다 뛰어난 식별능력을 보였다.

ABSTRACT Only $K = \log N$ reference patterns called principal components are sufficient to identify one out of N characters, calculated by computer and fabricated. An incoherent optical correlator is used for correlation coefficient measurements and it is shown that this method has better discrimination ability than analog measurements using matched filter.

1. 序 論

광문자 인식은 2차원 신호를並列處理함과 그 빠른 처리속도에 장점을 지니고 있는 光信號處理의 한 예이다. 이러한 인식은 광상관기(optical correlator)에 기초하고 있다. 광상관기는 1932년 Goldberg에 의해 고안되었고 1964년 Vander-Lugt가 복소 필터 이론을 발표함에 따라 완성되었다. 본論文에서는 비간섭성 광원을 이용한 광상관기를 구성, 미지문자를 인식하고자 한다. 비간섭성⁽¹⁾ 광원(Incoherent light source)은 레이저와 같은干涉性光源에 의해 먼지나 외부신호와의 간섭 등에 영향을 덜 받고 다양한 입력分布를 가질 수 있고 필터整置가 용이하다는 점에서 유리하다. 또한 종래의 N 개의 문자인식을 위해 애널로그 상관계수를 구해 가장 큰 값을 구하는 방법

파는 달리 각 문자에 2진⁽²⁾ 코드를 부여하고 주요문자형태(principal component : PC)라는 기준 패턴을 만들어 출력값이 2진 형태로 나타남으로써 인식할 수 있는 방법을 제시하였다.

2. 非干涉性光信號處理

2.1 非干涉性과 干涉性

간섭성 처리방식은 볼록 렌즈의 푸리어 변환 능력과 변위 불변 선형 시스템 이론을 직접 광시스템에 적용시킬 수 있고複素數列이터 처리 능력을 지니고 있다. 반면에 간섭성 처리 시스템은 몇 가지 제약을 안고 있는데 첫째, 入力端의 光分布가複素振幅形態를 가져야 한다. 이것은 photo-transparency에 평행한 레이저광을 비추어서 얻어지지만 emulsion이나 필름 베이스의 두께 변화에 따라位相이 영향을 받으므로 잘 조절해야 한다. 또한 처리되는 정보가 photo-transparency 형태로 적합하지 않거나 실시간 처리를 위해서는 공간 광변조기(spatial light modulator)를 사용해야 하나 가격이 비싼 단점이 있다. 두번째는 먼지와 렌즈를 비롯한 광소자에 흡이나 긁힌 상

* * * * * 延世大學校工科大學電子工學科

Dept. of Electronic Engineering Yonsei University,
Seoul 120 Korea

論文番號: 84-24 (1984. 11. 21)

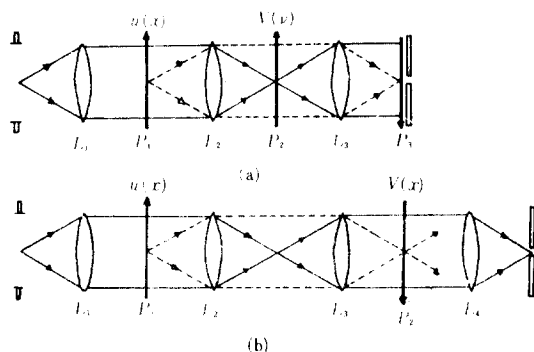


그림 1 비간섭성 광상판기
 (a)회대 방식 (b)직접 상판 방식
 Incoherent optical correlator,
 (a)filter correlation (b)direct correlation

처 등에 의한 광학학에 신호 측정을 배운다. 이 신호는 신호와 간섭을 일으키고 렌즈의 영상의 정을 벗어드린다. 반면에 비간섭성을 이용한 세이션이 없다. 일례로는 빛의 세기로만 나타나므로 TV화면⁽³⁾, 2-D LED 배열, 반사된 물체 등은 모두 시력으로 사용할 수 있고 비간섭성 광자리 시스템은 광자자의 면적과 종류로 단정성을 받는다. 그러나 비간섭성 광원을 사용시 양의 실수값만을 입·출력에서 갖게 되므로 부수값이나 음수값을 처리하기 위해 신자화과 등과 결합하여 여러 가지 부수방식이 필요하다.

2.2 非干涉性處理시스템

비간섭성 처리 시스템은 세기에 대한 선형 필터 동작으로 생각할 수 있다. 전달함수는 pupil함수 $\tilde{P}(\nu)$ 의 autocorrelation함수로 표시되고

$$\tilde{F}(\nu) = \int \tilde{P}(\nu + \nu') \tilde{P}(\nu') d\nu' \quad (1)$$

다시 정규화시키면 함수 $\tilde{F}(\nu)$ 를 광전달 함수 (Optical Transfer Function : OTF)라고 한다. 시스템 전달함수 속성을 세기 측정과 함수 $F(x)$ 는 다음과 같이 나타낸다.

$$\begin{aligned} F(x) &= \int \tilde{F}(\nu) \exp(2\pi i \nu x) d\nu \\ &= |P(x)|^2 \end{aligned} \quad (2)$$

즉 $F(x)$ 는 간섭성 시스템의 입출력 등급의 절대값의 제곱으로 나타낼 수 있다. 신호 $I(x)$ 를 갖기 위한 회색 필터 역할을 하는 pupil함수 $\tilde{P}(\nu)$ 를 찾기 위해 다음과 같은 대체를 가진다.

$$I(x) \rightarrow I(-x) = F(x) \rightarrow [F(x)]^* = |P(x)|$$

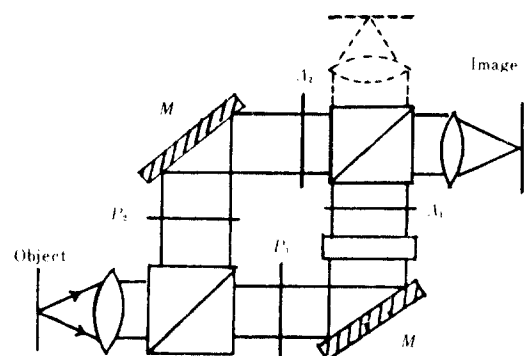


그림 2 2-pupil 광간섭 필터링 시스템
 2-pupil spatial filtering system.

$$P(x) = |P(x)| \exp(i\phi(x)) \quad \phi(x) : 랜덤 위상 \quad (3)$$

$$\begin{aligned} \tilde{P}(\nu) &= \int P(x) \exp(-2\pi i \nu x) dx \\ \therefore \tilde{F}(\nu) &= \int [I(-x)]^* \exp(i\phi(x)) \exp(-2\pi i \nu x) dx \end{aligned} \quad (4)$$

비간섭성 처리 필터링을 위한 $\tilde{P}(\nu)$ 를 그림 1 (a)의 P_2 면에 놓으면 원하는 신호를 추출하기 위한 비간섭성 광상판기를 구성할 수 있다. 또한 직접 상판방식을 이용한 경우 식(3)을 이용하여 구현할 때 그림 1 (b)의 P_2 면에 놓으면 된다.

2.3 2-pupil⁽⁵⁾ OTF함수법

간섭성 처리방식에 비해 비간섭성 처리방식은 시스템 용답함수 $F(x)$ 가 양의 실수값인 것에 대하여 비간섭성 광간섭 필터링에는 대역통과 필터링을 할 수 없다. 이러한 제약은 영상개선, 고우도 분석, Wiener필터링, 영상 미분 등의 연산을 수행할 수 없다. 이러한 문제점을 해결하기 위한 방법 중 하나가 두 pupil transparency를 이용하여 조판별의 세기를 영과 음의 값을 갖기 전후로 바꾸는 방법이다. 즉 두 pupil함수 P_1, P_2 를 간섭상태로 두 pupil함수

$$\begin{aligned} P(u) &= A_1 \tilde{P}_1(u) \exp(i\phi) + A_2 \tilde{P}_2(u) \\ (A_1, A_2 : 양의 실수) \end{aligned} \quad (5)$$

의 형태로 나타낼 수 있고 광전달 함수

$$\begin{aligned} F(u) &= A_1^2 (\tilde{P}_1(u) \otimes \tilde{P}_1(u)) \\ &+ A_2^2 (\tilde{P}_2(u) \otimes \tilde{P}_2(u)) \\ &+ A_1 A_2 (\tilde{P}_1(u) \otimes \tilde{P}_2(u) \exp(i\phi)) \\ &+ (\tilde{P}_2(u) \otimes \tilde{P}_1(u)) \exp(-i\phi) \end{aligned} \quad (6)$$

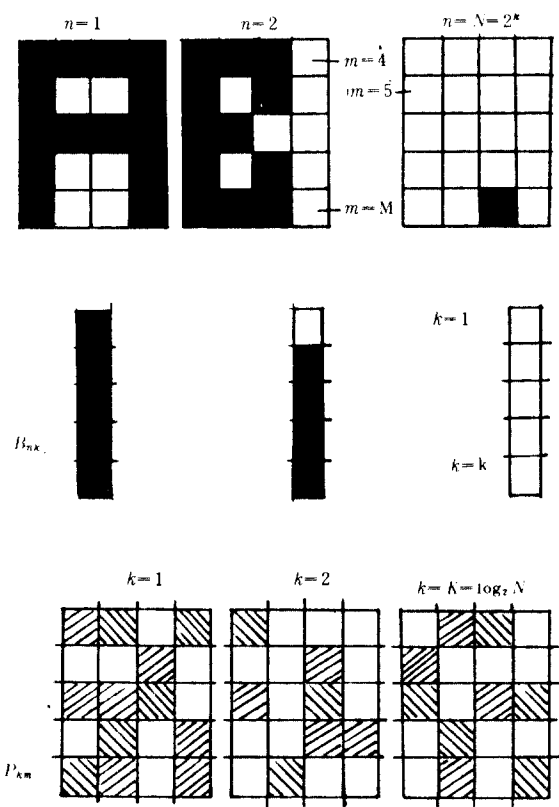


그림 3 (a) 입력 (b) 이진 출력 (c) PC 패턴
 (a) input (b) binary output (c) PC pattern.

가 되고 시스템 응답함수

$$\begin{aligned} F(x) &= A_1^2 |P_1(x)|^2 + A_2^2 |P_2(x)|^2 \\ &+ A_1 A_2 (P_1(x) P_2^*(x) \exp(i\phi) \\ &+ P_1^*(x) P_2(x) \exp(-i\phi)) \end{aligned} \quad (7)$$

로 된다. 식(6), (7)에서 알 수 있듯이 새로운 광전달 함수는 대역 필터 형태를 갖게 되고 시스템 응답함수는 음수도 표시하게 된다. 그림 2는 이러한 2 pupil 광전 필터 시스템을 나타낸 것이다.

3. 主要文字形態 (PC) 發生 앤거리덤

3.1 PC 패턴

1964년 Vander Lugt는 N 개의 문자를 인식하기 위해 각 문자에 대한 좌식 필터를 제작, 각각에 대해 상관을 취하여 인식하였다. 1965년 Gabor는 “코우드變換方法”을 통해 N 번의 애널로그 증설대신 이진 측정방법을 제시하였다. Gabor의 이론은 더욱 발전시킨 것이 PC 앤거리덤이다. 일렬

로 정렬해 있는 32개의 물체의 위치를 파악하는데 5번의 측정만이 필요하듯이 32개의 문자 중 하나를 인식하는데 5번의 2진측정으로 충분하다는 것이다. 즉 미지⁽⁴⁾의 문자 $U_n(x)$ ($n = 1, 2, \dots, N$)와 K 개의 주요문자형태 $F_k(x)$ ($k = 1, 2, \dots, K = \log_2 N$)와의 상관값을 1 아니면 0이 나오게 설계한다. 따라서 K 비트의 코우드 B_{nk} 가 각 문자 $U_n(x)$ 에 할당되고 식으로 표시하면

$$\int U_n(x) F_k^*(x) dx = B_{nk} \quad (8)$$

이 된다. 주요문자형태를 찾기 위한 앤거리덤은 각 문자와 PC패턴을 그림 3과 같이 M 개의 pixel로 나타낼 때 線型方程式의 解로 나타난다.

$$\sum_{m=1}^M U_{nm} F_{km} = B_{nk} \quad (n = 1, 2, \dots, N, k = 1, 2, \dots, K = \log_2 N) \quad (9)$$

(c)의 PC패턴의 화소가 다르게 졸쳐 있는 것은 0과 1뿐 아니라 연속적인 양수 또는 음수값으로 나타나는 것을 말한다.

2.2 앤거리덤

각 문자와 주요문자 형태가 M 개의 점에 서만 알고 있을 때

$$U_n(x) = \sum_{m=1}^M U_n(m/W) \operatorname{sinc}(x - m/W)$$

$$F_k(x) = \sum_{m=1}^M F_k(m/W) \operatorname{sinc}(x - m/W) \quad (10)$$

이고 비간섭성 광원을 고려하여 식(8)을 다시 쓰면

$$\int U_n(x) F_k^*(x) dx = B_{nk} = I_{nk}(0)$$

이므로

$$I_{nk}(0) = \sum_{m=1}^M U_n(m/W) F_k^*(m/W) \quad (11)$$

로 쓸 수 있다. 모든 입력을 포함하는 U 는 $M \times N$ 매트릭스 $[U_1, \dots, U_N]$ 로 표시하고 식(11)은

$$U^* \cdot F_k = I_k^* \quad (k = 1, \dots, K) \quad (12)$$

(+ : Hermitian Conjugate)

와 같이 M 개의 미지수 F_{mk} 를 갖는 N 개의 선형 방정식이다. 만약 PC패턴이 모든 N 개의 문자로 구성되어 있다고 하면

$$E_k = r_k \cdot U \quad (13)$$

이고 식(12)에 대입하면 $r_k = (U^* \cdot U)^{-1} I_k^*$ 가 되어



그림 4 입력 패턴
Input pattern.

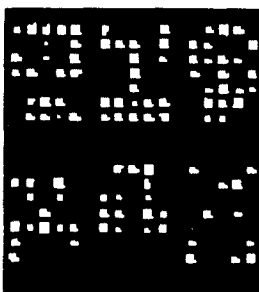


그림 5 PC패턴
PC patterns.

$$F_k = U(U^* \cdot U)^{-1} I_k^* \quad (14)$$

가 된다. 만약 문자가 서로 유사한 경우, 매트릭스 U 는 거의 singular하게 되고 $U(U^* \cdot U)^{-1}$ 과식 (14)의 F_k 는 매우 불안정하게 된다. 따라서 입력 신호의 작은 변동 δU_n 이 출력 신호

$$\delta I_{nk}^* = \delta U_n^* \cdot F_k = \delta U_n^* U(U^* \cdot U)^{-1} I_k^* \quad (15)$$

에 큰 영향을 미치게 되어 부정확한 고우드의 해석이 대체하게 된다. 따라서 최적조건은 PC 패턴과 고우드 빅터 I_k 를 잘 조정해서 신호의標準偏差 σ 가 신호의 범위 $\Delta I = (I_{\max} - I_{\min})$ 보다 훨씬 작게 해야 한다. 이러한 조건 아래 다시 방정식 (12)를 출력신호의 variance를 최소화하는 조건으로 풀면

$$\sigma_k^2 = 1/N \sum_{n=1}^N |\delta I_{nk}^*|^2 = 1/N \langle \delta I_k^* \delta I_k^* \rangle$$

$\langle \cdot \rangle$: 기대값

$$= 1/N F_k^* \langle \delta U \cdot \delta U^* \rangle F_k = 1/N F_k^* \Sigma^2 F_k \quad (16)$$

가 된다. 앞에서 구해준 PC 패턴 F_k 를 최적조건 하에서 다시 풀면 입력신호의 **preprocessor**를 고려할 때 갖아낼 수 있다. 선형 operator V 로 표시되는 이러한 **preprocessor**는 PC 패턴과 상관을 취하기 전 입력데이터 U 를 $V \cdot U$ 로 바꾸어 주는 역할을 한다. V 를 C^{-1} 로 선택하면 PC 패턴과 입력신호의 variance는 다음과 같이 표시할 수 있다.

표 2 각 비트에서의 Variance 값
Variance values at each bit.

k	Bit 2	Bit 1	Bit 0
1	-0.111589	-1.413741 -0.3	1.03178E-0.3
2	-1.431741 -0.3	9.33303E-0.3	8.96054E-0.3
3	1.03178E-0.3	8.96054E-0.3	7.89144E-0.3

표 1 각 문자에 할당된 고우드
Cords assigned to each characters.

	A	B	X	1	Φ	9	인	식
비트 2	0	0	0	0	1	1	1	1
비트 1	0	0	1	1	0	0	1	1
비트 0	0	1	0	1	0	1	0	1

$$F_k = \Sigma^{-1} U(U^* \Sigma^{-1} U)^{-1} I_k^*$$

$$\sigma_k^2 = 1/N I_k^T (U^* \Sigma^{-1} U)^{-1} I_k^* \quad (17)$$

3.3 PC패턴製作方法

비간섭성 광원은 사용 시 문제점은 앞에서도 지적했듯이 계산된 F_k 가 음수를 가질 때이다. 이것을 해결하기 위해 F_k 를 양수부와 음수부로 나누어

$$F_k = F_k^+ - F_k^- \quad (F_m^+, F_m^- \geq 0) \quad m = 1, 2, \dots, M \quad (18)$$

입력문자는 F_k^+ 와 F_k^- 를 분리해서 상관을 취한 후 결파치는 빼서 최종결과를 얻는다. 필터를 사용하여 인식고자 할 때는 pupil함수 $\tilde{P}(\nu)$ 를 F_k 의 무리어 헤로그램으로 얻을 수 있고 직접 상관인 경우 $P_k^t = (F_k^t)^2$ 를 transparency로 나타낼 수 있다.

4. 實驗 및 結果考察

非干涉性光源을 이용한 광상관기를 구성함에 있어서 본 논문에서는 직접 상관방식을 취하였다. 입력문자에 대한 PC 패턴을 식(17)에 의해 구하였다. 입력문자는 8개의 문자를 각 7×5 pixel로 나타내었고 그 패턴은 그림 4에 나타나 있다.

각 문자에 할당된 고우드는 표 1에 나타내었고 그림 5는 구해진 PC 패턴이다. 식(17)에 구해진 각 pixel에 차의 값을 칸스톤 변조방식에 의해 구하였다. 위 부분은 양수부이고 아래는 음수부이다.

전체 실험도는 그림 6과 같다. 비간섭성 광원

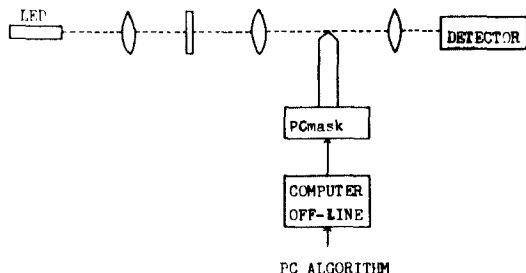


그림 6 전체 실험도
Experimental set up.

인 LED를 사용, 마스크에 비추었다.

표 2는 k 값에 따른 각 비트에서의 variance 값이다.

본 실험에서는 양수부, 음수부를 나누어 측정했지만 2.3에서 설명한 2-pupil 합성법을 구성, 동시에 빼 수 있는 시스템에 대한 연구가 필요하다.

실험 결과는 표 3에 나타내었다. 1과 0을 가르는 기준은 1[nW]이고 뚜렷하게 구별할 수 있었으며 종래의 애널로그 상관 측정법보다 훨씬 뛰어난 식별능력을 가지고 있었으며 정확한 PC 마스크의 설치도 요구되지 않았다.

5. 結 論

N 개의 입력문자에 대해 $\log_2 N$ 번의 2진 상관 측정에 의해 인식할 수 있는 방법을 나타내었고 비간섭성 광원을 이용해 상관기를 구성하였다.

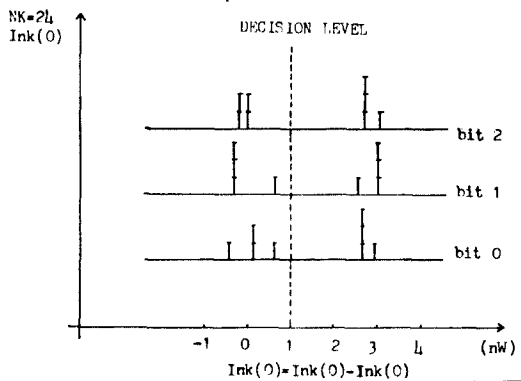
본 시스템은 설치가 간단하고 비용이 저렴하므로 OCR등에 응용할 수 있다.

本論文을 위하여研究費를 지원하여 주신 韓國學術振興財團에 감사드린다.

参考文献

- (1) S. H Lee, "Optical information processing," Springer-Verlag, 1981.
- (2) B. Braunecker et. al, "Character recognition by digital holography," Opt. Commun., vol. 11, no. 2, pp. 141~143, 1974.
- (3) W. Maloney, "Real time holographic filtering of oscilloscope traces," Applied optics, vol. 10, no.11, pp. 2554~2555, 1971.
- (4) B. Braunecker, et. al, "Optical character recognition based on nonredundant correlation measurements," Applied Op-

표 3 실험 결과
Experimental results.



ties., vol. 18, no. 16, pp. 2746~2753, 1979.

- (5) A. W. Lohmann, "Two-pupil synthesis of optical transfer functions," Applied Optics, vol. 17, no. 7, pp. 1141~1150, 1978.



朴賢澈(Hyun Cheol PARK) 員會員
1960年6月7日生
1979年3月~1983年2月：延世大電子工科
학과 학사
1983年3月~1985年2月：延世大院원자
자공학과 석사



宋宇永(Woo Young SONG) 正會員
1954年6月3日生
1973年~1977年：延世大전자공학과 학사
1979年8月~1981年8月：延世大대학원
전자과 석사
1982年3月~현재：延世大대학원전자과
박사과정
1977年10月~1979年8月：금성전기(주)
1982年3月：청주대이공대학전자과 진학
강사



朴漢奎(Han Kyu PARK) 正會員
1941年6月21日生
1964年2月：延世大學校電氣工程系卒業
1968年2月：延世大學校大學院電氣工程
系卒業(工學碩士)
1973年：불란서 파리대학교(University of
Paris)博士課程修了(DEA)
1975年：불란서 파리6대학(ph.D)
1976年~現在：延世大學校工科大學電子
工程系教授